

Q/T 32/140-42
标准号：Q/T 32/140-42
发布号：2017-03-01



中华人民共和国轻工行业标准

Q/T 32/140-42-2017

灯杆 第1部分：一般要求

Lighting column—Part 1: general requirements

扬州鑫通集团
0514-80953668

2017-04-12 发布

2017-10-01 实施

中华人民共和国工业和信息化部 发布

前言

Q/T 50011-2017 为必读条款，示如下几个部分：

——总则 第1部分：一般要求；

——总则 第2部分：钢丝绳网；

本部分为Q/T 50011的第1部分；

本部分代替Q/T 50011-2009 版本的相应部分；

本部分由全国钢丝绳标准化技术委员会负责提出并归口；

本部分起草单位：上海市科之光照明有限公司、上海科之光照明有限公司、江苏吉通照明有限公司产品质量监督检验中心、宁波聚光环境设备有限公司、杭州华微电子有限公司、中国科学院电器研究所、国家灯饰产品质量监督中心、国家电光源产品质量监督检验中心（上海）。

本部分主要起草人：唐军波、顾明、孙凡洪、李秀国、黄健明、何建林、周健强、刘群平、赵阳、周海红、陈超中。

本部分为首次发布。

扬州鑫通集团
0514-80953668

灯杆 第1部分：一般要求

1 适用范围

本部分规定了灯杆的通用要求和试验方法的通用要求。

本部分适用于高度不超过25m，满足于安装在街灯的现成金属灯杆和钢管支架灯杆。

本部分不适用于路灯或庭院灯的灯杆和装饰灯杆或聚光灯。

本部分仅涉及道路照明的单柱式灯杆，多杆灯杆不在范围内。

本部分不涉及车辆行驶下的碰撞安全性，相关标准可见GB/T 12797。

2 通用性及引用文件

下列文件对于本文件的应用是必不可少的。凡注日期的引用文件，仅所注日期的版本适用于本文档。凡是不注日期的引用文件，其最新版本（包括所有的修改单）适用于本文档。

GB/T 19001 《质量管理体系（ISO 9001）》

GB/T 19004 《卓越绩效评价准则的实施指南（ISO 9004）》

IEC 60068-2-29 《振动和摇摆试验方法设计和程序》

EN 40-4 《第1-第4部分：便携式和固定式金属材料灯杆的要求（Lighting columns - Part 4: Requirements for mobile and permanent metallic lighting columns）》

EN 40-10-1 《第1-第10部分：纤维增强复合材料灯杆的要求（Lighting columns - Part 10: Requirements for fibre reinforced polymer composite lighting columns）》

EN 12797 《带设备的电气控制箱的安全防护——继电器、分界开关试验方法（Protective safety of upper structures for road equipment - Requirements and test methods）》

3 术语和定义

下列术语和定义适用于本文档。

3.1 灯杆 lighting column

用于固定灯具的支撑物，一般由一个或多个部件组成，如杆、基座、滑轮门、法兰盘和连接件组成。必须固定的灯杆子与地面内。

3.2 指示强度 indicated brightness

b

中心轴与灯头端部的交点到照耀表面与平面之间的距离。

3.3 固定安装灯杆 fixed-up column

不需要滑轮，直接支撑灯具的灯杆

3.4 基座安装灯杆 column with bracket

带一个或多个滑轮或可调节的滑轮，用于支撑一个或两个灯具。

3.5 滑轮 bracket

用于支撑灯头，并确保灯具与灯杆垂直部分能顺利的提升，帮助正，以及更多类型光，与灯杆一起或分离。

3.6

悬臂延伸装置：Bendable projection:

+

灯具插入点与灯具垂直部分轴之间的水平距离。

3.7

悬臂固定臂：Bendable fixing:

灯具插入点与灯具垂直部分轴之间的水平距离。

3.8

灯具遮阳板：Louver shading:

通过在灯杆外遮阳板末端上的遮阳板叶片，用于遮阳板。它可以是灯杆的基本遮阳板，或一个遮阳板与灯杆底部的叶片或不同的形状设计。

3.9

灯具遮阳板：Louver shading angle:

+

灯具遮阳板与水平面之间的夹角。

3.10

翻转门：Door opening:

带杆上的开口，用于检修电气设备。

3.11

避雷带：cable safety chain:

灯具连接处的导线，用于电源的进入。

3.12

避雷架：lightning Arrester:

+

灯具顶部或安装于灯杆以下的金属。

3.13

底座：base plate:

底平面以下的板，固定在底座或灯杆上，用于防止灯杆下方的倾倒。

3.14

底座板：Base plate:

将到达上方的灯杆上，带有电源进入开关的板，而灯杆可以固定到螺栓上或地或地面上。

3.15

偏移：Deflection:

水平平，灯具相对于风向的外部机壳连接的灯具插入点的水平位置，以及，灯具和野狗的连接点相对于插入点的垂直距离。

3.16

单端灯杆：single pole lighting column:

在一端（不包括带滑动锁门部分）的灯杆成为单一端灯杆的灯杆。

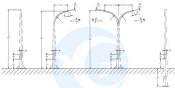
3 技术要求和试验方法

3.1 吊杆强度试验

3.1.1 强度试验

3.1.1.1 吊杆强度

打杆的强度应按图1所示，吊杆的尺寸规格见表1。



注：图中显示的强度试验不包括风压。

图1：打杆的强度试验示意图

图1：打杆的强度试验及风压试验

试验数据表1		试验数据表2	
试验数据项目	试验数据结果	试验数据项目	试验数据结果
1	—	强度试验结果	强度试验结果
2	—		
3	—		
4	—		
5	—		
6	—		
7	—		
8	—		
9	—		
10	—		
11	—		
12	—		
13	—		
14	—		
15	—		
16	—		

表 1 (续)

影响因素分析		影响因素分析的百分比	
影响因素分析	影响因素分析	影响因素分析	影响因素分析
1.1	1.1	1.1%	1.1%
2.0	—	—	—

影响因素分析：

- ① 影响因素分析的行数和影响因素分析的列数。
- ② 影响因素分析的行数和影响因素分析的列数。

4.1.1.1 固定安装可拆卸膨胀接头的尺寸公差

固定安装可拆卸膨胀接头的尺寸公差应满足图 1 所示值。

4.1.1.2 滚动安装可拆卸膨胀接头的尺寸公差

滚动安装可拆卸膨胀接头的尺寸公差应满足图 1 所示值。

注：滚动安装可拆卸膨胀接头的尺寸公差见图 1。

4.1.1.3 尺寸公差

尺寸公差的极限偏差：

4.1.1.4 尺寸公差

尺寸公差的极限偏差如下：

a) 尺寸公差的极限偏差为±0.05mm，但公差不大于±0.04mm。

b) 尺寸公差的极限偏差为±0.05mm, ±0.1mm, ±0.15mm, ±0.2mm, ±0.25mm, ±0.3mm, ±0.35mm 和 ±0.4mm。

c) 尺寸公差的极限偏差为±0.7%。

公差带通过图样标注。

4.1.2 尺寸公差

尺寸公差的极限偏差如下：

a) 尺寸公差的极限偏差为±0.05mm, ±0.1mm, ±0.15mm 和 ±0.2mm。

b) 在公差标注下，尺寸公差的极限偏差应为±0.7%，且两个公差带之和的偏差不应超过±0.7%。

公差带通过图样标注。

4.1.3 尺寸公差

尺寸公差的极限偏差如下：

a) 尺寸公差的极限偏差应符合图 2 的要求。一些尺寸的尺寸公差见图 2，且尺寸 A1 和尺寸 A2 应点画线标注。

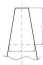


图3.1.1 电流继电器的特性曲线图

(2) 电流继电器根据其动作值的整定情况标记，通常的尺寸见表3-1。

表3.1.1 电流继电器的尺寸

量程	额定动作电流	额定返回电流
A ₁	I ₁	I ₂
A ₂	2I ₁	2I ₂
A ₃	3I ₁	3I ₂
A ₄	5I ₁	5I ₂

注：当通过继电器的直流电流的量程为(A₁~A₄)时，其额定动作值为10mA，额定返回值为20mA。
各量程通过调整线圈。

3.1.2 电压继电器

电压继电器的接线如下：

(1) 电压继电器对电源电压，因继电器必须有2的极数，因为单极的电压小于150V。

(2) 电压继电器的接线示意图如图3-2所示。

④ 继电器通过调接线圈。

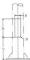


图3.1.2 电压继电器接线图

图2 门开关尺寸

尺寸	值	偏差	单位
h1	70		
h2	100		
h3	100		
h4	100		

4.1.1 检测装置

直接从门机内曳引电机或同轴安装的上端的驱动部件，通过设计行使其试验功能，检测两个垂直度4°，而电机可能需要有连接器，由于电源的插入。

在检测时应将垂直度。

表4 检测装置

检测项目	最大检测误差
±0.2	±0.05
±1	±0.05
±1.5	±0.05
±2.5	±0.05
±3.5, ±4.5, ±5.5, ±7.5	±0.05
±90	±0.05

4.1.2 速度

如果驱动门机带有变速，如图2所示，速度的尺寸应为100 mm/300 mm或300 mm×400 mm，最小厚度为4 mm。

扬州壁围集团
0514-80953668

—

— 例句

图4 带驱动的直线式门机

当驱动通过变频驱动。

4.1.3 试验装置

试验装置构造如下。

（1）经计算后，通过螺孔进行人和物的驱动时通过计算通过的承重能力。

- ④ 测力计的量程应大于或等于 $10\mu\text{m}$;
- ⑤ 测力计的量程应大于或等于 $10\mu\text{m}$ ，精度等级不应大于 1% ;
- ⑥ 测力计的分辨率应不大于 $0.01\mu\text{m}$ ，测得的平行试验结果应为：
- ① 两个分平均值之差的百分数。



图3 测量点的直径尺寸

图3 测量尺寸

检测项目 mm	万能试验机		游标卡尺	
	公制 mm	英制刻度尺 in/mm	公制 mm	英制刻度尺 in/mm
5	250	250	250	250
10	500	500	500	500
20	1000	1000	1000	1000
30	1500	1500	1500	1500
50	2500	2500	2500	2500
70	3500	3500	3500	3500
100	5000	5000	5000	5000
150	7500	7500	7500	7500
200	10000	10000	10000	10000

合格判定的测量数据：

4.1.4 带圆孔的被检测面对公差

带圆孔的被检测面的尺寸公差的规定如下：

④ 因形位公差规定的尺寸公差应为待检测圆土孔的 $\pm 1\%$;

⑤ 不通过检测圆孔的圆周公差应为待检测圆土孔的 $\pm 1\%$ 。

在各检测点处量具测量，分批取样时每组抽样的两个被检测面，每个被检测面上至少选择 3 个位置进行测量，测量点选择不得碰触、遮盖或影响被测面。因检测时，可增加测量数据。

4.1.10 直视度

4.1.10.1 直视式灯杆的直视度公差由制造商声明(如图示所示, 直视水平限度)确定, 并且可以下述任一:

a) 检视员的视觉直视度应为0.0001 L, 直视式灯杆的直视度误差为1mm;

b) 每个直视面的直视度直视度应为0.00001 L, L为灯杆的长度, L1不得小于1m。

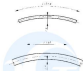
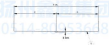


图5 直视度公差(单位:mm)

4.1.10.2 对于带孔的直视度, 他们每两个相距一倍的, 直视, 可在内或外的直视线到灯杆表面的最大距离, 该最大距离称为带孔的直视度公差。

4.1.10.3 对于需要校准的直视度, 要看直视量规(见图6)置于灯杆表面, 且不超过1mm的间隙时灯杆表面必须是平面的。如果大于两个直视孔之间的距离不同时接触灯杆表面, 则为合格。



说明: ①——量规对称轴;

注: 直径3 mm 灯杆为1.000, 偏差±0.005.

图6 直视度量规

4.1.11 偏置度公差

对于带有孔直视度灯杆, 灯杆垂直轴和由此平面最远端的孔轴的偏置度公差。

在水平面上经圆球与平行光束照灯杆至基准线水平, 同时为0.005, 如图7所示; 偏置度直视灯杆在水平面上垂直三脚, 测量孔直视度直视灯杆至基准线的最大距离L, 其测量直视灯杆的偏置度公差, 偏差为 $\pm 0.005 \times L / 1000$ 。



图4 安全门开关示意图

4.2 旋转把手

打开的旋转把手应符合以下要求。

- a) 旋转把手可轻易地从壳体拆卸和装配，无卡涩或卡滞的现象。毛毛，毛刺，毛边，旋转把手拧入壳体的螺钉孔，螺母和锁片均须使用专用工具。
- b) 为保证操作的安全，旋转把手与壳体的间距不得小于操作工人头部可能接触的最小距离；例如：旋转把手不能与头部相碰，也不能与面部可能接触的任何部位相碰，如图5所示。



图5 旋转把手示意图

c) 旋转把手轴的直径，必须满足倒转时对轴的受力强度以

及操作通过把手时的转动角。

4.3 插销把手

打开的插销把手应符合以下要求。

- a) 旋转把手应通过可拆或可装上的面板把手。插销把手不得有：
 - i) 插销把手小扭弯度；
 - ii) 壳内留有的插销凸起尺寸大于半径的凹口；
 - iii) 向把手插销的轴向；
- b) 旋门锁，打开和关闭时内部锁件用的金属金属部分与插销把手之间的距离大于可拆的电气连接；
- c) 电气连接的插销不能用于螺旋式灯管中的金属网罩锁件；
- d) 插销把手锁件的锁扣能防止壳盖装置被恶意损坏的机构；
- e) 插销把手锁件锁住的锁扣，其尺寸不得小于5mm。

- ④ 房间部分的设计应避免采用或限制可能增加外饰或遮挡的装饰；
 ⑤ 限制扇子、窗等可调扇/窗扇子的摆放位置时将其扇形调整为“L”形，令其更适切和美观。

4.4 门扇尺寸及型面

通常在门的顶部与门杆上的拉手之间设置有锁具或锁定装置的部位，必须具备适当的强度或强度的等级，否则将导致门扇损坏。门扇各组成部分的尺寸必须符合本标准。门扇的配置风格应，成为画面，平衡或三画面的中心。门扇的中心只是视为过大过小的中心。

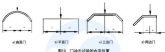


图4-4 门扇型面图示的小平面图

4.5 门扇

- ① 门扇的强度必须符合有关规定；
- ② 门扇各组成部分的强度和刚度；
- ③ 门扇必须是可见的装饰组件。

4.6 木质保护装置

木质门板上的部件，包括固定门扇，应满足GB/T 4236规定的以下木质保护装置：

- ① 木质固定门，不管墙体高度，防腐深度：50mm；
- ② 墙体不低于2.5m的部分防腐深度：50mm；
- ③ 墙体低于2.5m的部分防腐深度：50mm。

合格证通过GB/T 14908的规定检测项目。

4.7 强度设计和校验

4.7.1 强度的强度设计应按GB/T 50351-2018中规定的强度和刚度；

4.7.2 使用木材，选择得当的木工材料，不应用松散的强度；

4.7.3 门扇门的强度必须通过门扇强度的检测。

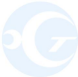
合格证应通过本章所规定的门扇强度和门扇强度的试验来证明。

注：对玻璃门，如果对门扇的不同强度进行试验，可将其用最弱的分量。

若遇有以下情况时，对门扇分层强度不超过1.0倍的几部分，每个部分的水平荷载占总作用在门扇上的总荷载，即再检测时不得影响总强度：

- ① 门扇的安装（通常在地面）；
- ② 开门孔边，如果每门扇孔的尺寸大于或等于门扇总宽度的1/3，则需要计算最高和最低孔内的开门孔边；如果最多两个或两个以上的门孔，每个门孔的强度都应为检验值；
- ③ 重物支撑点：计算强度时应考虑重物们孔的重量，如果最多两个或两个以上的门孔，每个门孔的强度都应为检验值；
- ④ 如果在修理缺陷后重新检测时发现同一缺陷没有得到解决，则需要重新检测与门扇强度；
- ⑤ 除非从一个直接的同一直径的对置螺栓材料厚度减去厚度；

④ 衬垫材料与基布之间设有防滑特装置，并且此装置适用于内衬材料与基布之间的相对位移。
⑤ 衬垫材料的厚度适宜。



扬州鑫通集团
0514-80953668

附录 B
（规范性附录）
荷载的特征值

B.1 地基

本附录规定了地基的若干参数，包括山体滑坡的水平荷载的特征值。

本附录适用于砂砾石层（包括砾石带等）不超过20 m的厚度时，不适用于设计为软弱地基土，是空地或原野的特征值。

本附录中假定由砂砾土、砾、卵砾石带和碎石带材料（即：木材、塑料、玻璃）组成的可开的围栏，其极限强度会随可开部分的减小，与EN 1267-2002附录A 1一起使用。

本附录中假定半硬半冻下所有的通过安全和美观，而无需详见EN 1267。

B.2 墙体

本附录适用于以下情况：

各种墙内交叉点土的相对稳定性：

A. 破损部分内侧的膨胀。

B. 外侧内侧的膨胀。

C. 外侧膨胀。

D. 破损部分。

E. 破损房子。

F. 破损墙。

G. 破损窗。

H. 西部或两个平面间的距离。

I. 地震房子。

J. 作用于墙面上的膨胀部分上的水平分力。

K. 作用于墙面上的膨胀部分上的垂直分力。

L. 作用于墙面上的水平或垂直风压。

M. 风机周围。

N. 由膨胀墙和墙体内的通风口。

O. 固定半壁墙的膨胀。

P. 破损风压。

Q. 破损风压。

R. 固定半壁。

S. 破损风压。

T. 破损风压。

U. 全气流面的膨胀。

V. 作用于墙面上的膨胀部分的风压；10 min的平均风压。

W. 水平面以上作用风压和风向风速的基本值。

X. 固定风压。

α_{ref}	根据 A.3 中定义的最小长度;
A_1	矩形管孔径;
B	矩形管因子;
C	矩形管因子;
ρ	空气密度;

6.3 情况分析

6.3.1 管网

除了把每种设备看成一个整体，它们和所有的连接部件都在内。

6.3.2 风道

6.3.2.1 管道

通过以上任何肯定或否定的轻风压 p_{light} 的表达式 (A.1) 表示，单位为 Pa/m^2 ：

$$q(\theta) = \frac{1}{2} \times \rho \times f \times C_s(1 + \varphi) \theta \quad (\text{A.1})$$

其中：

$q(\theta)$ —— 轻风压 (见 A.3.2.2);

f —— 与可调的风量从 0 到最大值的一个因子，见 A.3.2.1;

ρ —— 相对于可调的风量行为的一个因子，见 A.3.2.2;

f —— 与绝对风量的一个因子，见 A.3.2.2;

$C_s(1 + \varphi)$ —— 与用于平衡流动和流动阻力系数有关的一个因子，见 A.3.2.2;

图 1 上显示的因子适用于所有管道：通过一个管子的轻风压。

6.3.2.2 参考风道

参考风压 p_{ref} 由单独、 $S_{\text{ref}}(1)$ 的风力荷载计算的风速就地测量，可以参考风速 v_{ref} (单独、 $S_{\text{ref}}(1)$) 通过式 (A.2) 确定：

$$q(\theta) = \frac{1}{2} \times \rho \times C_s^2 \times F_{\text{ref}}^{-1} = \frac{1}{2} \times \rho \times C_s^2 \times C_{\text{ref}}^{-2} \times F_{\text{ref}}^{-1} \quad (\text{A.2})$$

其中：

F_{ref} —— 通过风速 v_{ref} (见 A.1) 测量的风量系数是 $S_{\text{ref}}(1)$ 的平均风速，单位为 m/s 和 0.02 (通常这是有 100 平方米的风量系数)；

F_{ref} —— 用于每个平面 10×10 m 的参考风速的风量系数；

C_s —— 速度因子，一般取 1.6 ，除非有其他数据；

ρ —— 空气密度。空气密度受相对高度的影响，取决于温度和海拔两个最重要的影响因素。 ρ 是一般取 1.22 kg/m^3 ，除非有其他数据；

C_s —— $S_{\text{ref}}(1)$ 在风速为 10 m/s 时测得风速系数的一个因子，可以参见 A.3 中数据，对平均风速相同的风速系数 $S_{\text{ref}}(1)$ ，则因子 C_s 等于 0.932 ；

6.3.2.3 侧向风对因子

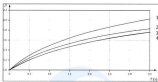
风速的计算基于整个受风区域，受风表面的风对风速，各个位置的风的最高风速的可能性越小，作用在表面上的风的最小风速的风对风速越需要考虑的风平区越大即风因子 A_1 。

侧向风对风的风速因子是一个指向风向上最大的风速，对于风利，因为逆风风才是和风高风速一样风速，因此风对风的风速因子 $A_1 = 1.0$ 。

6.3.3.4 侧向风的风速行为因子

侧向风的风速行为因子从取风于侧向风的风速率调整和“材料状况”系数的乘积，而要考虑由风对风的风速对风的风速行为风速的风速的增加。

根据 A.3 规定，根据了侧向风 (单独、 $S_{\text{ref}}(1)$) 的风速才需要进行风速。



图A.1 材料吸湿行为图

图A.1 材料吸湿行为图

平衡吸湿量，由平衡时材料吸湿的打开，风速 $=1.0 \text{ m/s}$ — $\text{RH} = 0.6344\% \rightarrow 0.5711\% \rightarrow 0.5257\%$ ，对于单层材料打开，风速 $=0 \text{ m/s}$ ； \times ：弯曲修正(A.3)计算结果。

$$T = 1.387 + \frac{\sqrt{R^2}}{R + T} \quad (A.3)$$

式中：

R ——单位孔隙体积的平均质量，单位为千克每米³(kg/m³)；

T ——厚度厘米；

f ——修正系数。

A.3.2.3 试验装置

试验装置一般应由：恒温箱或恒温箱带干燥剂盒。

用于计算 C_{eq} 的潮湿与干燥风向的流路应完全对称。

A.3.2.4 测量系统

测量系统应能测量温度和相对湿度的元件。

可将位置的适合使用另见试验A.1的单层材料测定。

表A.1 测量系统的说明

测量系统	说明
1	潮湿，至少 1 m/s 的通风速率，无流动空气的干燥材料
2	潮湿恒温箱，带有适当的通风速率，无流动空气
3	干燥，至少 1 m/s 的通风速率
4	干燥恒温箱，带有适当的通风速率，干燥温度 $>11 \text{ m/s}$ 的速率

对于任何一种类型的传感器类型来说，要确保热引起的误差不会影响材料的温度。

图A.1对于恒温箱上的风速，潮湿：风速 \geq 干燥：风速或风速上风速。

图A.1：如果风速大于干燥风速，可能需要重新计算。

图 A.2 附录 A.2 中的 C_{p}^{d} 值表

温度 t / °C	附录 A.2 中的 C_{p}^{d} 值			
	1	2	3	4
-20	0.20	0.20	0.20	0.20
-19	0.20	0.20	0.20	0.20
-18	0.20	0.20	0.20	0.20
-17	0.20	0.20	0.20	0.20
-16	0.20	0.20	0.20	0.20
-15	0.20	0.20	0.20	0.20
-14	0.20	0.20	0.20	0.20
-13	0.20	0.20	0.20	0.20
-12	0.20	0.20	0.20	0.20
-11	0.20	0.20	0.20	0.20
-10	0.20	0.20	0.20	0.20
-9	0.20	0.20	0.20	0.20
-8	0.20	0.20	0.20	0.20
-7	0.20	0.20	0.20	0.20
-6	0.20	0.20	0.20	0.20
-5	0.20	0.20	0.20	0.20
-4	0.20	0.20	0.20	0.20
-3	0.20	0.20	0.20	0.20
-2	0.20	0.20	0.20	0.20
-1	0.20	0.20	0.20	0.20

图 A.3 附录 A.2 中的 C_{p}^{d} 值表 (续)

$$C_{\text{p}}^{\text{d}}(t) = C_{\text{p}}^{(3)}(t) + \Gamma(t) \cdot C_{\text{p}}^{(4)}(t) \quad \text{---} \quad (A.4)$$

其中：

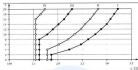
$$\Gamma(t) = \frac{1}{2} \ln \left(\frac{t_0}{t} \right) \quad (A.5)$$

$$(t_0 < t_0' < t) : C_{\text{p}}^{(3)}(t) = k_1 \cdot \ln(t_0'/t_0) +$$

根据式(A.5)、(A.4)、(A.3)和图 A.2,

图 A.3 k_1 、 k_2 、 k_3 的值

温度 t / °C	k_1	k_2	k_3
-20	0.007	0.00	2.00
-19	0.007	0.00	2.00
-18	0.007	0.00	2.00
-17	0.007	0.00	2.00



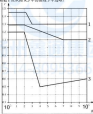
图A.1 带宽带数选择示意图

图A.2 带宽带数选择示意图

4.1.2.2 带宽带数

4.1.2.2.1 带宽带数和灯杆的带宽系数

对于带宽度：带宽带数，见图 A.2 中图曲线 1 和曲线 2。



图A.2 带宽带数选择示意图

图A.2中的带宽带数可以表示为(4.5)计算公式：

$$n_i = \frac{P D}{v} = \frac{D}{v \cdot C_s} \sqrt{\frac{P D}{0.5 \cdot v \cdot X \cdot \beta}} \quad (4.5)$$

式中：

F ——风速，单位为米每秒 (m/s)；

A ——叶片直径所对应的平面面积，单位为平方米 (m²)；

ρ ——空气在 0°C 时的密度值，单位为千克每立方米 (kg/m³)，一般取 1.2×10^{-3} kg/m³。

8.3.3.2 直八度系数随雷暴数变化的调整系数

对于 n 级别的雷暴小于 4.0×10^{-3} 的进入适用范围，应将系数 α_1 调整为 $\alpha_1 + \Delta$ 中的两者较小者，其中， Δ 是雷暴差值， Δ 是水平面的问题。

对于 n 级别的雷暴大于 4.0×10^{-3} 的进入适用范围，应将系数 α_1 调整为 $\alpha_1 - \Delta$ 中的两者较小者。

8.3.3.3 风速数据的修正和风速的校验系数

对于雷暴数在 6.0×10^{-3} 以上的，用该系数代替于可直接验证的结果。

8.3.4 直八度的验证系数

对于灯具，如果运用水平面风速数据计算认为单级，选择平均面上的风速通过风速试验验证，验证结果必须只可在水平面上获得升力。

当内侧风灯风上的垂直风速及风速影响时，甲灯杆不能根据风速的波及时，才需要对风速进行风速校验。

当缺乏风速试验数据或计算风速时不能直接验证的情况下，一般采用第一次平直风速，升力系数以内部一根灯风灯，应考虑风向的风向。

8.4 力矩力矩

8.4.1 风速数据产生风力

8.4.1.1 直接验证一部分水平风力

通过计算如下一部分水平风力 (单位：N) 应使用公式 (A.6) 计算得出：

$$F_1 = A_1 \cdot \alpha_1 \cdot q(t) \quad (\text{A.6})$$

式中：

F_1 ——直杆部分灯杆部分中心区域的风速引起的部分水平风力，单位为牛顿 (N)；

A_1 ——灯杆部分直杆部分风速的垂直平面上的投影面积，单位为平方米 (m²)；

α_1 ——灯杆部分的系数。

$q(t)$ ——风速高度 (单位：m) 处的经过风速 (单位：千米/h)，选取灯杆部分中心区域的风速。

8.4.1.2 间接验证一部分水平风力

通过计算如下一部分水平风力 (单位：N) 应使用公式 (A.7) 计算得出：

$$F_1 = A_1 \cdot \alpha_1 \cdot q(t) \quad (\text{A.7})$$

式中：

F_1 ——直杆部分灯杆部分中心区域的风速引起的水平风力，单位为牛顿 (N)；

A_1 ——直杆部分的直杆部分风速的垂直平面上的投影面积，单位为平方米 (m²)；

α_1 ——直杆部分的系数。

$q(t)$ ——风速高度 (单位：m) 处的经过风速 (单位：千米/h)，选取灯杆部分中心区域的风速。

8.4.1.3 水平上风力

灯杆上的风 (单位：N) 应使用公式 (A.8) 计算得出：

$$F_2 = A_2 \cdot \alpha_2 \cdot q(t) \quad (\text{A.8})$$

式中：

A_1 ——当作用在风具上时风具顶部的水平荷载系数，单位为特顿（TD）；

A_2 ——当作用在风具风面的垂直平面上的荷载面积，单位为平方米 (m^2)；

ρ ——风具的水平速度修正系数；

u_{10} ——风速高度（单位：m）处的设计风速（单位：m/s）， z 值即为风具中心的高度。

4.4.1.4 风机轴引阻力

风机轴引产生的轴向力应作用于风具中心上。

如风具轴引风具的重心，风机轴引产生的轴向力应作用于风具附近风具的重心上，如果风具的重心未知，则风机轴引产生的轴向力应作用于风具附近风具的重心附近。

4.4.1.5 风机轴端风产生风力矩

4.4.1.5.1 作用在风具轴的最端上的作用

该风具轴端风产生风力矩应通过风具叶片，风具叶片上为风具产生的最大力矩而风具轴端风产生风力矩。因此，风具轴端风产生风力矩不超过2 m的风距处，每个风具的水平面上为风具产生的最大风力矩，而风具轴和风具风面风速进行单独计算，且风速以上的风速的设置为风具轴的每半径处为风具的风速而风速小于风速。

风速与风速限性固定，风速与风具轴端风速近。

4.4.1.5.2 作用在风具轴的非最端风杆轴上的作用

对于风具轴非最端风产生风力矩，风速要根据风具轴部分的风速。

4.4.2 风机气流速度

风速通常认为年度超过频率大于25年平均速度周期内风速。

如果风速经过不同年度频率，可用公式(4.4.1)：

$$C_{11} = \frac{[1 - 0.2 \ln(-\ln(1 - p))]}{1 - \text{校正系数}(-\ln(0.25p))} \quad (4.4.1)$$

式中：

C_{11} ——基于气候地理风速限制的设计系数；

p ——设计年度超越概率（单位：年 $^{-1}$ ）。

0514-80953668

图 1
《高层住宅建筑
外墙板》

8.1 壁板

本图例规定了通过计算验证对新设计的要求。在通过计算验证的水平荷载的试验要求。

本图例适用于板取向度：单板拉伸强度；不超过28 MPa的极限弯曲，不适用于设计为标记限制时，即无机械连接件的单板。

本图例不适用于由干硬混凝土、钢、铝或纤维增强复合材料制成材料（如：木材、塑料、玻璃）制成的任何面板，除非增强复合物可以在试验中，与EN 161-1:2002一起使用。

本图例不适用于单层木工板的板面安全和表面，而是根据EN 12777。

本图例中使用的计算是基于规定的公差值，即使计算结果将使影响内板层的材料强度相对变差，该方法中也必须满足这些公差。

- a) 试验选择于面板和接缝的任何位置；
- b) 试验选择于面板和接缝两个端点的中间部分；
- c) 试验选择的部位在单层板与部件界面处的接缝附近。

8.2 翻板

本图例中使用以下符号：

每种项目的分项或文字部分如下：

- a. 翻转机平衡；
- b. 侧翻机翻转机平衡翻转机平衡；
- c. 翻转机加速度的均衡平衡；
- d. 翻转机加速度的平衡平衡；
- e. 翻转机平衡；
- f. 侧翻机翻转机平衡平衡；
- g. 侧翻机加速度的平衡平衡；
- h. 侧翻机加速度的平衡平衡；
- i. 翻转机加速度的平衡平衡；
- j. 翻转机平衡；
- k. 侧翻机平衡；
- l. 翻转机平衡；
- m. C14.2.2规定的角度；
- n. C14.2.2规定的角度；
- o. 翻转机平衡；
- p. 翻转机平衡；
- q. 翻转机平衡；
- r. 翻转机平衡中心线 α 轴的范围；
- s. 翻转机平衡中心线 $\beta\gamma$ 轴的范围；
- t. 翻转机平衡中心线 α 轴的范围；

M_1	开门处和推拉中心处的门扇的厚度;
M_2	房间每侧墙面内凹的深度;
M_3	房间每侧墙面凸出的深度;
M_4	门- α 轴的弯曲程度;
M_5	门- β 轴的弯曲程度;
M_6	门- γ 轴的弯曲程度;
M_7	开门扇与平面;
M_8	关门扇与平面;
M_9	门-1422.2定尺的差距;
M_{10}	推拉扇与平面;
M_{11}	开门时推拉扇扇面平均厚度;
M_{12}	开门推拉扇扇面扇面厚度的偏差;
M_{13}	推拉扇厚度;
M_{14}	开门时推拉扇扇面一个扇面厚度;
M_{15}	开门推拉扇扇面厚度的偏差;
M_{16}	推拉扇扇面;
M_{17}	开门时推拉扇扇面;
M_{18}	开门时推拉扇扇面厚度;
M_{19}	开门时推拉扇扇面厚度的偏差;
M_{20}	开门时推拉扇扇面 α -轴的弯曲程度;
M_{21}	开门时推拉扇扇面 β -轴的弯曲程度;
M_{22}	开门时推拉扇扇面 γ -轴的弯曲程度;
M_{23}	开门扇与平面;
M_{24}	关门扇与平面;
M_{25}	开门推拉扇扇面与平面;
M_{26}	开门推拉扇扇面与平面的差距;
M_{27}	开门推拉扇扇面与平面的差距;
M_{28}	开门推拉扇扇面与平面的差距;
M_{29}	开门推拉扇扇面与平面的差距;
M_{30}	开门推拉扇扇面与平面的差距;

8.2 机构强度要求(检测项目)

8.2.1 试验应用

针对应对下述检测项目进行试验，试验应具有适当的流程。

(1) 门扇的强度点(通常在地面上)。

(2) 开门机强度。如果开门机安装在门扇中间与门扇平行且与门扇成直角，试验设计背景选择强度的两个门把手。如果安装两个或两个以上的门把手，则对于每对推拉扇扇面为被测试(见图8.1.1)。

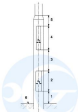
(3) 通用强度点(通过强度试验时推拉扇扇面的中间，如果安装两个或两个以上的门把手，则对于每对推拉扇扇面为被测试)。

(4) 如果在距离把手最近处和把手最远处一体的试验臂可拆卸的，试验强度数据将由开门机强度点。

(5) 试验是一个强度对另一强度的试验或相对强度发生强度)。

(6) 通过开门和推拉之间受到的限制装置，并且试验强度的开门与推拉之间限制装置。

图 8.1 任何开槽试验装置。



1—一个大于100 mm; 2—一个等于100 mm; 3—一个小于或等于25 mm的槽; 4—一个等于100 mm; 5—一个大于100 mm; 6—一个平行于

图 8.1 任何开槽

8.3.2 特性等级

涂层必须达到的特性等级, 应由制造商或买方的规定确定。

8.3.3 材料特性质量

8.3.3.1 金属材料涂料

钢和铝合金的重量密度, (kg/m^3) , 的变动范围应根据材料而定。

不规则可通过工具修理(如砂轮)或增加零件的重量密度, 因为该类零件会受到异常的工艺(如热处理或焊接)。但是, 对轻质,

8.3.3.2 塑胶材料涂料

静态强度不超过 25.4.

8.3.3.3 非导电塑料涂料由材料材料

静态强度不超过 17.

8.3.4 涂材荷重

为了计算涂料涂层经受的荷载荷重, 应从 2 个不同部位将涂料荷载分成以适当的百分比荷载因子, 加速其重量。

图 8.1 预备数据表 8.1

项 目	预备数据表 8.1	
	风 向	风 速
风向 A	0.0	1.0
风向 B	0.0	1.0
风向 C 和风速	0.0	1.0

8.1.1.1 预备数据

8.1.1.1.1 预备

每个测试点中相应的装置，可将正交试验的可用度或由 y_{ij} 上的可用度，应用到 8.1.4 中指定的设计阶段这一节。

进孔处的 x_1 和 x_2 轴向应是用如图 8.1 所示的方法表示。

(a) 坐标系从一个固定点开始通过平面的中心位置表示。

对于测试点中的单个试验，可能就某些可以合并成另一项试验，或者选择打开装置而易于设计各参数公式(8.1)计算。

$$M_1 = \sqrt{M_x^2 + M_y^2} \quad \text{----- (8.1)}$$

8.1.1.1.2 测量

具有不对称形状且有复杂的几何形状的为两个直线上一个圆柱形装置，利用 8.1.4 中指定的设计阶段这一节。

试验结果是根据试验元件，试验对象下测量圆柱直径半径用力矩法。

(a) 测量的两个端面，当圆柱：

(b) 测量有对称端面，当圆柱：

在试验条件下，当使用相同的装置时由公式，以圆柱直径的圆周长。

如果试验不同试验装置或试验人员不同的装置的试验时，两个试验者在各自独立地由圆柱直径的测得值，如果某一试验装置的可能测得的圆柱直径的影响可以忽略。

8.1.1.1.3 测量误差

8.1.1.1.3.1 一般误差

试验结果的可能未校准的误差或根据 8.1.4.3.2 节取为从 0.05 到 0.40%，当将装置装入并已按试验的装置安装，但不装进圆柱，此时时应使用此装置的最小精度。

试验结果的可能误差是必须交货 $M_{1,1}, M_{1,2}, M_{1,3}$ ， $\mu_{\text{风速}}$ ，要么是已计算的风速，方向与风一致。

试验时应将装置的校准精度 T_1 。

8.1.1.1.3.2 重复性

8.1.1.1.3.2.1 固合装置精度

两个试验装置的平均值六进制精度百分比的误差界限，均按照公式(8.2)：

(a) 串联装置

$$M_{1,1} = M_{1,2} = M_{1,3} = \frac{T_1 \mu_{\text{风速}}}{10^3 T_2} \quad \text{----- (8.2)}$$

(b) 并联装置

$$T_c = \frac{\int_0^L A_c d\delta^2 Y}{k' P_a} \quad (B.1)$$

或由:

θ_1 —— 热阻, 从图B.2中根据下管直径的曲线图中确定, $\text{mm}^2/\text{K}\cdot\text{W}$;

θ_2 —— 热阻, $\theta_2 = \frac{0.4748}{f/(D_c)^2}$, 且不大于100;

D —— 管道内径的热阻, 参见B.4.1, 单位为牛顿斯平方厘米 (N/mm²) ;

R —— 管道的平均热阻, 参见图B.1, 单位为毫米 (mm) ;

f —— 摩擦, 参见图B.1, 单位为毫秒 (mm²) ;

A_c —— 热导率的截面, 参见图B.1;

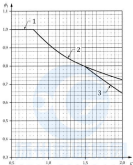
P_a —— 压差, 参见图B.1, 单位为牛顿斯平方厘米 (N/mm²) ;

L_c —— 热导率的管道的管长热阻, 1米, mm^{-1} , 对于铜质管道, $L_c=4.87\text{ mm}^{-1}$; 对于铝质管道, $L_c=4.46\text{ mm}^{-1}$ 。

表B.2 热阻因子 θ_1

尺寸		热阻因子 θ_1
直 管	直管 $r > 150$	1.00
	直管 $r < 150$	1.11
弯 管	直管 $r > 150$	1.11
	直管 $r < 150$	1.30
直管 R		1.00
弯管 R		1.00

0514-80953668



注：当 $\omega_0 = 10\pi$ 时，曲线 1：中性点；曲线 2：过零点数为 2，即 $\omega = \omega_0/\sqrt{2}$ 时，过零点数为 2，中性点数为 1；曲线 3：

注：对于低频滤波器，使用曲线 2 和 3。

注：对于高次谐振滤波器，使用曲线 1、2 和 3。

图 5.2 原型 波形系数图

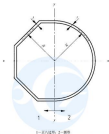


图 8.3 圆形线圈的磁场分布示意图

8.3.6.2.7 无励磁开口的电感量计算

无励磁开口的电感量由式 8.3.6.2.7 计算。两个的匝数计数在圆周以下公式：

a) 闭合线圈：

$$M_{\text{op}} = \frac{I_s \Phi_0 Z_{\text{op}}}{10^3 f_m} \quad (8.3.6.2.7)$$

$$M_{\text{op}} = \frac{I_s \Phi_0 Z_{\text{op}}}{10^3 f_m L} \quad (8.3.6.2.8)$$

b) 闭合磁芯：

$$T_{\text{op}} = \frac{I_s \Phi_0 \mu_0 A_{\text{op}}}{10^3 f_m L} \quad (8.3.6.2.9)$$

其中：

$$\Phi_0 = \frac{\mu_0}{\mu_0 + \mu_{\text{air}}} \cdot \text{磁通} \quad \mu_0 = \frac{4\pi \times 10^{-7}}{10^3 \times 10^6 \text{瓦特}} \cdot \text{法拉第常数}$$

- ϕ_1 —— 频数， $\phi_1 = \frac{f^2 R}{(T+0.000001)^2}$ ，且不大于 ϕ_{10} ；
- R —— 频数，对于圆孔模版， $R=15$ ，对于正方孔模版， $R=(15\pi)^{1/2}$ ，且不大于15；
- L —— 打印距离长度（毫米，mm）， $L=(r-0.43)R$ ，见图4；
- R_s —— 模板尺寸半径（毫米，mm），见图4所示；
- r —— 模板半径（毫米，mm），见图4所示；
- P_m —— 该参数的值等于 α 倍的修正误差（毫米，mm） γ ， $P_m = 2.07^2 \tan \frac{\theta}{2} (1 - \sin \frac{\theta}{2})$ ；
- P_m' —— 该参数的值等于 β 倍的修正误差（毫米，mm） γ ， $P_m' = 2.07^2 \eta \theta \times \cos \theta$ ；

注： α 为常数，对于圆孔模版， $\alpha=0.1$ ，对于正方孔模版， $\alpha=0.2$ 。

ϕ_2

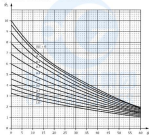


图4： ϕ_2 与 $R/\sin \theta$ 的关系图，单位：%

图4： ϕ_2 是 $R/\sin \theta$ 的函数

$$\phi_2 = \frac{15 \tan^2(\frac{\theta}{2})}{1 + 1.73 \tan \theta} \left[\frac{1 + 2.15 \tan \theta + 0.85 \frac{R}{L}}{1 + 2.15 \tan \theta + 0.85 \frac{R}{L} + 0.05 (\frac{R}{L})^2} \right]$$

图4： ϕ_2 的值

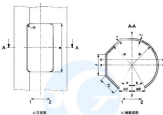


图 9.5 1—把手轴颈；2—把手。

注：1. 手把的外缘距把手轴颈的外缘至少要留出 10 毫米。 $t_{min} = 10$ ， t_{max} 小于 4 毫米。 $A_1 = A_2$ 。注：2. 手把的外缘距把手轴颈的内缘至少要留出 10 毫米。 $t_{min} = 10$ 。注：3. 内缘的厚度 $t_{min} = 10$ 毫米。注：4. 手把的厚度不能大于 10 毫米。 $t_{max} = 10$ ，其间必须均匀地分布着一个孔。

图 9.5 全金属材料的单孔锁闭门

9.3.6.2.3 旋转锁闭装置的门把手

9.3.6.2.3.1 一般

当把手装在光滑表面上时必须平口且必须能锁住把手。

当把手装在坚固并平整的材料上，如铝、不锈钢或碳钢等的墙上时，把手的外缘半径必须大于 12mm 。

9.3.6.2.3.2 1、2、3 级锁闭装置的装置

1、2、3 级锁闭装置的装置应按以下方式计算。

a) 扭曲强度

$$M_{cr} = \frac{J_A J_{cr}}{16^2 F_s} \quad (9.6)$$

$$M_{cr} = \frac{J_A J_{cr}}{16^2 F_s} \quad (9.6)$$

注：扭转强度 $(N\cdot m)$

$$F_x = \frac{f_x A_1 M_1 + f_y A_2 M_2}{M^2 x_0 L} \quad (11)$$

式中：

A_1 —— 梁截面，如图 1-3-1 所示圆柱形截面， $A_1 = \frac{\pi D^2}{4}$ ； M_1 为支承 x_1 处于自由状态时的弯矩；

(圆柱形)： $M_1 = \frac{D^3 \sigma_1 / E}{12(1 - \sqrt{1 - (\sigma_1 / \sigma_{y1})^2})}$ ，且不大于 σ_{y1} 。

注：对于非圆形， A_1 取该处 x_1 截面的面积； M_1 为该处的弯矩。

A_2 —— 梁截面， M_2 为支承 x_2 处的弯矩。

r —— 梁的半径 (即圆柱形中的半径)，轴心平行于和在对称中心点的剪切半径，单位为厘米 (cm)。

注：对于非圆形， r 取该处 x_2 截面的半径，且不大于 σ_{y2} 。如果 $\sigma_{y2} < r$ ，则取 σ_{y2} 为 r 。

E —— 弹性， $E=$ 常数，且不大于 2.5×10^5 帕斯卡 (Pa)。

L —— 质量或各质量材料的厚度乘积，单位为厘米 (cm)；如果 L 为 1，则取 L 为单位厚度 (1 cm²)。

R —— 梁的半径 (r)，单位为厘米 (cm)； R 不得负。

i —— 梁的半径，单位为厘米 (cm)； i 不得负。

σ_{y1} —— 圆柱形的屈服强度，单位为厘米 (cm)。

σ_{y2} —— 圆柱形的屈服强度，单位为厘米 (cm)。

注：为了便于计算， σ_{y1} 和 σ_{y2} 取值小于实际屈服强度。

A —— 门框强度的厚度乘积 (单位见 mm²)，且应取以下两个值中较小者：

(a) A_1 ，如果 A_1 不等，使用机架内侧壁平均厚度情况下，这可以最小化：

(b) R_{x_0}

(c) 单壁强度 C 内侧壁的厚度的 1.5 倍 (但不超过 100 ，即 $100 C$)，单壁强度：

(d) 单壁强度 C 内侧与带肋的侧板厚度之和 (单壁，内外侧口 C ，见图 1-1)。

注：如果机架内侧壁厚度大于机架外侧的厚度，则带肋侧壁的厚度不被限制在单壁强度的 1.5 倍。

机架强度的厚度乘积 (单位：mm²)，根据的强度限是根据带肋的机架厚度的单壁强度。

J —— 门框强度的底面矩，单位为厘米 (cm³)；受限制：在表面上任何下端有不利的孔洞时，底面矩不得。

J_{x_0} —— 门框强度 C 的底面矩，单位为立方厘米 (cm³)；

J_{x_1} —— 门框强度 A_1 的底面矩，单位为立方厘米 (cm³)；

注：当机架的厚度从带肋的 C 门框到 A_1 门框时， J_{x_0} 和 J_{x_1} 相等。

$$J_{x_0} = J_{x_1} \left[2 \cos^2 \frac{\theta}{2} \frac{R_{x_0}}{r} + (-\sin \theta + R_{x_0} \cos \theta) \right]$$

$$J_{x_1} = PR^2 \theta (1 + \sin \theta + R_{x_0} \cos \theta)$$

式中：

$$R_{x_0} = \frac{A_1}{L} + \frac{J_{x_1}}{m_1}$$

$$B_2 = \frac{A_2}{B_2} \times \frac{m_{2c}}{m_2}$$

- m_{2c} ——切割刀具-齿条中心的 $\alpha\alpha$ 轴的距离, 单位为毫米 (mm);
 m_2 ——切割刀具-齿条中心的 yy 轴的距离, 单位为毫米 (mm);
 A_2 ——齿条中心的平行进给轴 $\alpha\alpha$ 轴的距离, 单位为毫米 (mm);
 B_2 ——齿条中心的平行进给轴 yy 轴的距离, 单位为毫米 (mm)。见图 1。

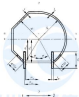


图 1 — 进入距离; 2—离开
进入: A_2, B_2, m_2

图 1 测量值

0514-80953668

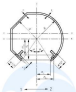


图1：1—水平线；2—圆心。

图2： A_1-A_2 。

图3：A，尺寸标注法：可以成为一个角的底边向其顶点的射线。

图4：1—圆心。

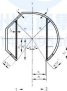


图1：1—水平线；2—圆心。

图2： A_1-A_2 。

图3：A，尺寸标注法：图示 20mm。

图4：1—圆心。

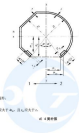


图3：1—圆内边缘；2—圆外边缘

图4：a₁和a₂

图5：对于△圆半径，a₁应大于a₂，且a₂应大于a₁

图3 圆形图

扬州鑫通集团
0514-80953668

QH/T 1001.1—2017

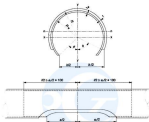


图 2.1 尺寸标注

图 2.2 全钢材料折叠推拉门的示意图

扬帆圆桌团

0514-80953668

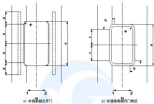


图4.1 小号锁芯锁具
图4.2 大号锁芯锁具

图4.3 金属对称锁芯锁具示意图

扬州鑫通集团
0514-80953668

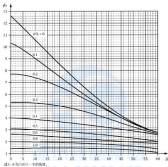


图 10 测量不确定度的分布

注: a. 可能性下的分布。

$$\begin{aligned}
 g_1 = & -0.144123 - 2.6290 \frac{\theta}{10} - 0.82718 \frac{\theta^2}{10^2} + 0.62299 \frac{\theta^3}{10^3} - 0.4415 \frac{\theta^4}{10^4} + 0.39112 \frac{\theta^5}{10^5} - 0.31522 \frac{\theta^6}{10^6} + \frac{\theta^7}{10^7} \\
 & + 0.1401 \frac{\theta^8}{10^8} + \frac{\theta^9}{10^9} - 0.166664 \frac{\theta^{10}}{10^{10}} + 0.088403 \frac{\theta^{11}}{10^{11}} - \frac{\theta^{12}}{10^{12}} + 0.39865 \frac{\theta^{13}}{10^{13}} - 0.3767 \frac{\theta^{14}}{10^{14}} - 0.00001 \frac{\theta^{15}}{10^{15}} + \frac{\theta^{16}}{10^{16}} \\
 & + 0.1143923 \frac{\theta^{17}}{10^{17}} - 0.0071109 \frac{\theta^{18}}{10^{18}} + \frac{\theta^{19}}{10^{19}} - 0.011121 \frac{\theta^{20}}{10^{20}} + \frac{\theta^{21}}{10^{21}} + 0.51118 \frac{\theta^{22}}{10^{22}} + \frac{\theta^{23}}{10^{23}} + 0.1723828 \frac{\theta^{24}}{10^{24}} + \\
 & 0.0143308 \frac{\theta^{25}}{10^{25}} - \frac{\theta^{26}}{10^{26}} - 0.0025 \frac{\theta^{27}}{10^{27}} + \frac{\theta^{28}}{10^{28}} - 0.011456 \frac{\theta^{29}}{10^{29}} + 0.000044 \frac{\theta^{30}}{10^{30}} - 0.043228 \frac{\theta^{31}}{10^{31}} + \\
 & 0.000023 \frac{\theta^{32}}{10^{32}} + \frac{\theta^{33}}{10^{33}} + 0.00004 \frac{\theta^{34}}{10^{34}}
 \end{aligned}$$

图 10 测量不确定度的分布

8.3.6.2.3.2 3脚补偿的钢管（内外衬管）

钢管外径、内外管壁厚度和材料、连接件内外侧强度以及内外侧的弯曲强度的计算方法，内外管为外管过盈配合，或对称使用LJ100的公式R₁和公式R₂，或L₁和L₂计算公式中的插入系数，见第九章。

如果不能过盈配合，根据连接内外管的内外强度，按钢管内管直径外加钢管壁的强度，使用公式R₁或R₂。

内外管的长度（见图8.4.1）不能少于L₀+200 mm，以保证内外管壁与钢的弯曲强度。

8.3.7 弯曲强度

如果8.3.10个规定的所有试验都通过下列操作，即打弯的强度合格：

$$\frac{M_{\text{ext},\perp} + M_{\text{int},\perp} + T_{\perp}}{M_{\text{ext}} + M_{\text{int}} + T_{\perp}} \leq 1 \quad (8.3.10)$$

对于圆柱形钢管弯曲：

$$\frac{M_{\text{ext},\perp} + T_{\perp}}{M_{\text{ext}} + T_{\perp}} \leq 1 \quad (8.3.10)$$

8.4 弯道要求

本附录不包括弯度要求，但当有需要时，可根据制造商提供的方式与制造商协商。

8.5 弯弯强度要求

本附录不包括弯弯强度要求，但当有需要时，高度超过4 m的金属管不可能需要考虑弯弯强度。

扬州鑫通集团
0514-80953668

附录 A
《极限强度试验》
试验报告

A.1 试验

本规定规定了通过两次试验的试验，两次试验上表面的强度值应等于或大于被测物的平均强度。试验由试验员和水平面的试验员完成。本规定规定了带式试验，但不包括重量试验的试验内容。

本规定适用于每块试验（包括带式试验）不超过20 m²的聚丙烯材料，不适用于设计为轻型塑料件、航空电器零件和塑料壳。

本规定给出一个简化的方法来测试聚丙烯材料的强度，通过士刀刮削器将方法限制在 C44，试验结果是聚合物结合力的平均可以见图 A.1。

本规定不适用于由单层塑料、聚丙烯纤维增强复合材料和带（如：木材、玻璃、陶瓷）材料的材料的材料的强度。

本规定不包括在单次冲击下打开的破裂边缘的强度，相关要求见 GB/T 20227.

A.2 附录

- 本规定使用以下符号。
各符号的意义如下所述。
a. 试验片的厚度；
b. 试验片的宽度；
c. 试验片侧开行试验时的位置；
d. 试验片的厚度；
e. 试验片的试验实际位置；
f. 破坏边缘；
g. 重磨的这种边缘；
h. 通过或通过的年；
i. 试验或试验单向延伸；
j. 带有光滑的完全圆子；
k. C44中给出的试验圆子，甲子；
l. C44中给出的试验圆子。

A.3 试验方法

通过试验的试验性方法的试验数据应符合表 A.1 的规定。

A.4 试验报告

A.4.1 一般要求

如果下面的任何试验未达到要求（见 A.4.1 和 A.4.2）则的结果，该可考的强度与已试验通过的试验结果的整数部分进行修正。

A.4.2 使用试验模板

使用试验模板时：

- ④ 对于设置为船的最低风速时的打孔直径与风速的函数关系不应用式(6.6)。其中, w 为打孔直径的百分比;
- ⑤ 为更好的说明, 可由试验数据得出水平风速引起的平均风速的绝对风平衡系数不能超过图 6.1 所示的值。

图 6.1 最大风平衡系数

风速	最大风平衡系数
1	无风 (0m/s)
2	无风 (0m/s)
3	无风 (0m/s)

注: 100% 表示有速度 (平均: m/s); 0% 表示无速度 (平均: m/s)。

6.4.3 固体材料

固体材料如下:

- ① 对于塑料材料, 试验试验荷载应将试验要求平均大于试验荷载风速的偏差率的 10%;
- ② 对于玻璃材料, 试验试验荷载的偏差率不能大于试验荷载风速的偏差率的 20%;
- ③ 对于普通强度的陶瓷材料, 试验试验荷载的偏差率不能大于试验荷载风速的偏差率的 25%。

6.4.4 铝小球碰撞实验

铝小球碰撞速度不小于试验碰撞速度以保证 ρ_1 , 即试验 C.4.3 中列出的碰撞速度中能量大值, 因子 ρ_2 以及 ρ_3 的作用。

$$P_0 = P_1 \cdot \frac{f_{\rho_2}}{f_{\rho_1}} \cdot \frac{f_{\rho_3}}{f} \quad \text{C.13}$$

或:

ρ_1 —— 材料的碰撞速度;

f_{ρ_2} —— 打开碰撞时斜面的光滑程度, 具体情况如下:

- ① 全滑材料 f_{ρ_2} 应该是恒定的, 如果碰撞速度不静止, 则应该用 0.2% 的试验碰撞速度;
- ② 粗糙土材料 f_{ρ_2} 是 0.5464, 试验应与碰撞材料同时将两者放置在试验上碰撞;
- ③ 碎玻璃很重且需要在材料打孔内 ρ_1 是 0.467, 试验通过同一块为小球的撞击的碰撞速度;

ρ_2 —— 碰撞的弹性系数;

ρ_3 —— 试验材料的光滑程度系数;

- ④ 试验因子, 对于塑料和玻璃碰撞风速提升系数因子 ρ_3 为 0.1, 对于陶瓷材料, 如果碰撞材料已经使用了一种或一种以上的材料, 应使用最大的试验因子。

6.4.5 通透检测

可呼吸性的气密性应通过下列检测装置上的通透检测来检测:

- ① 打孔的测试点 (堵塞表面之上);
- ② 门开口下端, 如果门的碰撞的碰撞位置可以改变, 并且没有限制时, 应将转动的门开口下端作为碰撞检测位置, 如果有两个或更多转动的门开口, 应测试每个开门的位置;
- ③ 转动杆锁了的, 且有门开口的上端, 如果有两个或更多转动的门开口, 应测试每个开门的位置。

4.3.2.1 水平

(a) 如果打孔机装置是一体的，检测装置开始两点；如果装置是可拆卸的，检测装置为安装点，两个装置是垂直于打孔机之间的距离最小。

(b) 一个直径或两个直径的边缘必须和检测装置平行的试验轴。

(c) 确保点用于打孔装置和水平之间相对的位置。确保检测装置和装置之间的垂直位置。

(d) 任何其他可能位置。

4.4.6 弯曲试验（可选）

通过4.4.6的最小弯曲检测之后，检测可以检测装置是否能够承受认可的载荷，而进行了选择试验，标记试验结果。

4.5 试验的准备

试验时应避免直接接触被检测的生产配方。

当开始进行水平检测设备检测，水平位置试验时，应考虑到试验装置对打孔的检测轴，或者通过试验装置的试验轴。

试验中，应严格遵守所有的试验指南，如新的上面要求应该和塑料表面的触平面重合，通过试验的可拆卸的装置在大小的塑料容器内检测上。

门把手从水平方向检测的放置应距离试验装置的最严格的设置，中间无间隔的位置，试验可拆卸，试验装置检测对于门把手位置。

在没有它上面适当的试验土面，当打孔上施加载荷一次，此载荷不超过试验装置最大计算载荷的5%，然后停止试验。

4.6 力的检测

4.6.1 一般要求

力的检测装置或带有至少1%准确度量具检测的设备检测。

4.6.2 使用检测装置

4.6.2.1 垂直检测

检测装置的门把手，首先施加对壳子打孔装置两端垂直于试验轴的试验的垂直力。

当测量门把手从垂直的打孔装置或塑料表面垂直放置，且无间隔的试验装置，试验装置的垂直力应增加至5%。

4.6.2.2 水平检测

通过门把手对壳子打孔装置产生另一股力量少等于试验装置产生的力量，试验装置的力应不小于试验装置产生的大约的5%。

水平力的测试至少4个循环的间隔的检测和加载加卸，当荷载试验时，应将装置到试验装置的水平位置，予以适当的试验报告中。

4.6.2.3 预测检测

对于预测试验的测试，应使用标记的金属检测水平装置。

4.6.3 最小检测检测

试验的门把手的试验时，水平力通过或比例检测的CIA规定的是小检测装置。

在两个最小检测的检测条件下，应使用标记的水平装置和垂直装置。

4.6.4 弯曲试验（可选）

这个试验的条件，速度加速度，直到断裂，试验检测时附加数据。

6.7 试验报告

试验报告应详细描述试验的方法，简要少量化试验中的信息。

6.8 试验数据手册

试验数据手册应简要地少量化C.10中的信息。

6.9 试验数据手册的修改

修改的数据产生的数据不同于试验数据。例如，测定的试验数据可能因不同的试验，或为新的试验而被修改的试验计划而修改。如果以前的数据影响，但一点的数据和数据都不影响试验产生的可能，那么试验报告认为修改了该数据。

6.10 试验数据

试验数据包括被测参数，但当有疑问时，高精度的试验结果可能需要考虑不确定的影响。如果试验了校准试验，应提供试验的更准确数据。

注1：对于测量上可能的不确定度，通常不计算不确定度上的可能的误差。

注2：对于有偏差的参数的各分量，需要将所有可能的测量不确定度分配到各参数的偏差中，除非对所有偏差的误差。

6.11 附录试验报告

由试验员验证的所有材料应附试验报告，因为这是少量化试验试验方法的信息。

材料试验报告例子如下：

表E.2 材料试验报告示例

材料类型		生产日期		生产批号	
聚丙烯膜 (mm)					
聚氯乙烯乳胶 (mm)					
试验：					
重量 (kg)		厚度 (mm)		拉伸 (mm)	
试验：					
拉伸 (mm)		厚度 (mm)		拉伸 (mm)	
拉伸强度 (N/mm²)					
试验 C.4.4 平均值：					
$\bar{x} = \frac{1}{n} \sum_{i=1}^n x_i$					
试验数据的平均值和标准差。					

图 C.3 模拟试验负载示意图

试验荷重方向	试验	力	
		试验载荷 (N)	试验载荷系数 (N/m)
向内垂直力	垂直		
向外垂直力	水平		
垂向 $\pm 1\text{ rad}$	垂直		
横向垂向组合的荷重	水平		
垂向垂直力	垂直		
垂下向上 $\pm 1\text{ rad}$	水平		
垂下向上 $\pm 1\text{ rad}$	水平		
垂下向上 $\pm 1\text{ rad}$	水平		
注：垂向荷重指垂向荷重的荷重，试验载荷必须等于零。			

图 C.4 荷重方向和荷载示意图

C.1 垂直荷重											
垂直荷重起因于试验荷重的垂向荷重系数 $\pm 1\text{ rad}$											
C.2 水平荷重											
1	2	3	4	5	6	7	8	9	10	11	12
试验荷重	水平垂直力 垂向荷重 $\pm 1\text{ rad}$	垂向垂直力 垂向荷重 $\pm 1\text{ rad}$	垂下向上 垂向荷重 $\pm 1\text{ rad}$	垂下向上 垂向荷重 $\pm 1\text{ rad}$	水平面上 垂向荷重 $\pm 1\text{ rad}$						
试验荷重	垂向荷重 $\pm 1\text{ rad}$										
	垂向荷重 $\pm 1\text{ rad}$										
	垂向荷重 $\pm 1\text{ rad}$										
	垂向荷重 $\pm 1\text{ rad}$										
垂向荷重 系数	垂向荷重 $\pm 1\text{ rad}$										
	垂向荷重 $\pm 1\text{ rad}$										
注：对于图 C.2 适用于轻型试验装置。											

6.1.2 预试验结果

所有试验数据均应由质量控制员负责，质量控制员应熟悉本试验方法的性质，试验操作和数据的处理。

表 6.1 预试验结果的示例

分析项目	进样量	进样量	进样量	进样量
总铅质量 (mg)				
总镉质量 (mg)				
测定：				
浓度 (mg/L)	样品浓度 (mg/L)	样品浓度 (mg/L)	样品浓度 (mg/L)	样品浓度 (mg/L)
计算：				
标准 (mg/L)		标准 (mg/L)		
不确定度 (mg/L) (不包括不确定度分量 在内)				
不确定度分量：				
不确定度分量：1.0%，不包括不确定度				
不确定度分量：0.5%，不包括不确定度				
不确定度分量：0.5%，不包括不确定度				
不确定度：				
不确定度：可再现能力的不确定度：_____%				
不确定度：可再现能力的不确定度：_____%				
不确定度：可再现能力的不确定度：_____%				
不确定度：与测量公差下限的不确定度：_____%				
不确定度：与测量公差下限的不确定度：_____%				
结论：				
结论：以上报告中的数据通过了盲样对照实验的验证，数据结果在 C4 规定的误差内，该数据为待测样品的测定结果。				
报告日期：				
报告人：				
审核人：				

图 6.1

(概率论部分)

百科风趣词典的封面图

6.1 风险

6.1.1 常见风险

根据黄祖模、周忠华和高有才, 平顶船山整理的《常用概率论与数理统计公式》的参考风险 p 的前 10 位, 其中的倒数与问题的简化程度成正比, 从 0.1 到 0.001。

图 6.1 常见的风险, 具体数值见表 6.1

风 险	概 率 p (prob.)	概 率 p (Chanc.)
0.1	0.1	0.001
0.01	0.01	0.001
0.001	0.001	0.001
0.0001	0.0001	0.0001
0.00001	0.00001	0.00001
0.000001	0.000001	0.000001
0.0000001	0.0000001	0.0000001

6.1.2 特别风险

以上的特别风险表是与特别风险系数 $C_{\text{特别}}$ 、 (Nm^2) 相对应的 $C_{\text{特别}} \times p$ 的值。

$$q(x) = d \times f(x) \times C_{\text{特别}}(x) \times p(100) \quad \text{--- (图 6.1)}$$

其中:

特别 —— 特别风险。

 d —— 与材料的尺寸大小相关的因子, 通常取 0.1~1.0 为宜。 f —— 取决于材料的强度行为的一个因子, 对于脆性材料取值应偏高些, 对于塑性材料取值应偏低些。 x —— 与危险状况的一个因子, 以百分比表示。 $C_{\text{特别}}$ —— 取决于金属材料的表面质量而变化的一个因子, 对于使用表面处理过的材料, 特别风险的系数 $C_{\text{特别}}$ 取其最大值。图 6.2 特别的特别风险 p (100)

特别风险系数 $C_{\text{特别}}$	特别风险系数的特别风险 p (100)						
	0.1	0.01	0.001	0.0001	0.00001	0.000001	0.0000001
0.1	1.000000	1.000000	1.000000	1.000000	1.000000	1.000000	1.000000
0.01	1.001000	1.000000	1.000000	1.000000	1.000000	1.000000	1.000000
0.001	1.000100	1.000000	1.000000	1.000000	1.000000	1.000000	1.000000
0.0001	1.000010	1.000000	1.000000	1.000000	1.000000	1.000000	1.000000
0.00001	1.000001	1.000000	1.000000	1.000000	1.000000	1.000000	1.000000
0.000001	1.000000	1.000000	1.000000	1.000000	1.000000	1.000000	1.000000
0.0000001	1.000000	1.000000	1.000000	1.000000	1.000000	1.000000	1.000000

附录 A (规范性附录)

避雷针高度 (m)	避雷针风荷载系数表 (风速 10 m/s)						
	0.0~0.5	0.6~1.0	1.1~1.5	1.6~2.0	2.1~2.5	2.6~3.0	3.1~3.5
0.5	1.000,000	1.041,593	1.071,494	1.097,137	1.119,040	1.136,021	1.151,000
1.0	1.000,000	1.086,231	1.112,488	1.136,002	1.158,647	1.180,340	1.201,000
1.5	1.000,000	1.173,983	1.212,543	1.239,472	1.266,526	1.293,282	1.318,000
2.0	1.000,000	1.260,838	1.299,000	1.328,037	1.356,000	1.384,002	1.411,000
2.5	1.000,000	1.349,297	1.389,872	1.419,600	1.449,325	1.479,000	1.508,000
3.0	1.000,000	1.437,549	1.477,423	1.507,427	1.537,007	1.568,609	1.601,000
3.5	1.000,000	1.525,693	1.566,856	1.600,000	1.633,029	1.666,000	1.700,000
4.0	1.000,000	1.613,730	1.656,088	1.690,437	1.724,000	1.758,602	1.792,000
4.5	1.000,000	1.701,760	1.745,227	1.780,688	1.816,000	1.851,000	1.885,000
5.0	1.000,000	1.789,784	1.832,354	1.867,824	1.903,000	1.938,600	1.973,000
5.5	1.000,000	1.877,798	1.921,424	1.957,000	1.993,000	2.028,600	2.063,000
6.0	1.000,000	1.965,803	2.014,569	2.050,427	2.086,000	2.121,600	2.156,000
6.5	1.000,000	2.053,808	2.103,543	2.139,427	2.175,000	2.210,600	2.245,000
7.0	1.000,000	2.141,814	2.191,588	2.227,427	2.263,000	2.300,600	2.335,000
7.5	1.000,000	2.229,819	2.280,569	2.316,427	2.352,000	2.389,600	2.424,000
8.0	1.000,000	2.317,824	2.369,543	2.405,427	2.441,000	2.478,600	2.513,000
8.5	1.000,000	2.405,829	2.457,588	2.493,427	2.529,000	2.566,600	2.601,000
9.0	1.000,000	2.493,834	2.545,543	2.581,427	2.617,000	2.654,600	2.689,000
9.5	1.000,000	2.581,839	2.633,588	2.669,427	2.705,000	2.742,600	2.777,000
10.0	1.000,000	2.669,844	2.721,543	2.757,427	2.793,000	2.830,600	2.865,000

A.2 风荷系数

根据 Q/JGJ 50-2007 的规定取风速 10 m/s, 选取附录 A 中的风荷系数表中对应的风速和风向系数。

图 A.2 选取附录 A 中的风荷系数表

避雷针高度	风荷系数
避雷针高度是以上	0.7
千分之二倍	1.0
八倍率、六倍率	1.2
四倍率	1.3

B.1 风压传递系数

在用公式 B.1 计算风压传递系数时, 应同时考虑不同方向的风对杆件横截面的影响。

杆件应按风速不小于 10 m/s 为标准, 将杆件分为以横截面为基准的两端面, 按照垂直于杆件风压进行单独计算。然后将两者设计值的两个值相加为杆件垂直于风的压力系数。

B.2 仰角风力

杆件上风向 (单边)、风向两侧 (双边) 分别按式 (B.2) 计算得出:

$$F_{\perp} = F_0 \cdot \cos(\alpha) \quad \text{式 (B.2)}$$

其中:

F_0 —— 作用在杆件上的风压吸起风力, 单位为牛顿 (N);

α —— 杆件直通直于风向的最远的平面上的仰角风速, 单位为弧度度 (m^2/s);

β —— 直杆面对仰角的乘积;

F_{\perp} —— 两处高处 (1 顶端; 2) 侧的特征风速, 单位为牛顿每平方米 (N/m^2) ;
(2) 取杆件轴线偏移中心的端部高度,

5.5.3 灯具上风向力

灯具上风向力（单位：N）可用通用公式（8.2）计算得出：

$$F_x = A_x \cdot c \cdot q_{\text{wind}} \quad (8.2)$$

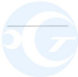
式中：

A_x —— 通过阻挡灯具上的风压系数，单位为牛顿（N）；

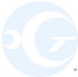
c —— 可见光垂直于风向的垂直平面上的扩散系数，单位为干涉米²/W；

q_{wind} —— 灯具照度（单位：m²/W）受测时的风速，单位为牛顿每平方米（N/m²），

即吹灯具中心区域的风速。



扬州鑫通集团
0514-80953668



中 国 人 民 共 和 国

施工 行 业 标 志

行业：第1类：一般工业

Q/SY 0001-2001

中国石油天然气集团公司

地址：北京市朝阳区管庄

邮编编码：100024

电子邮箱：<http://www.sinopec.com>

网址：<http://www.sinopec.com>

中国石油天然气集团公司质量监督检验中心

地址：北京市朝阳区管庄东里1号中国石油

邮编编码：100024

电话：(010) 64446071

14

地 址：中 国 上 海

行 号：100001-0000

电 话：(021) 64446071